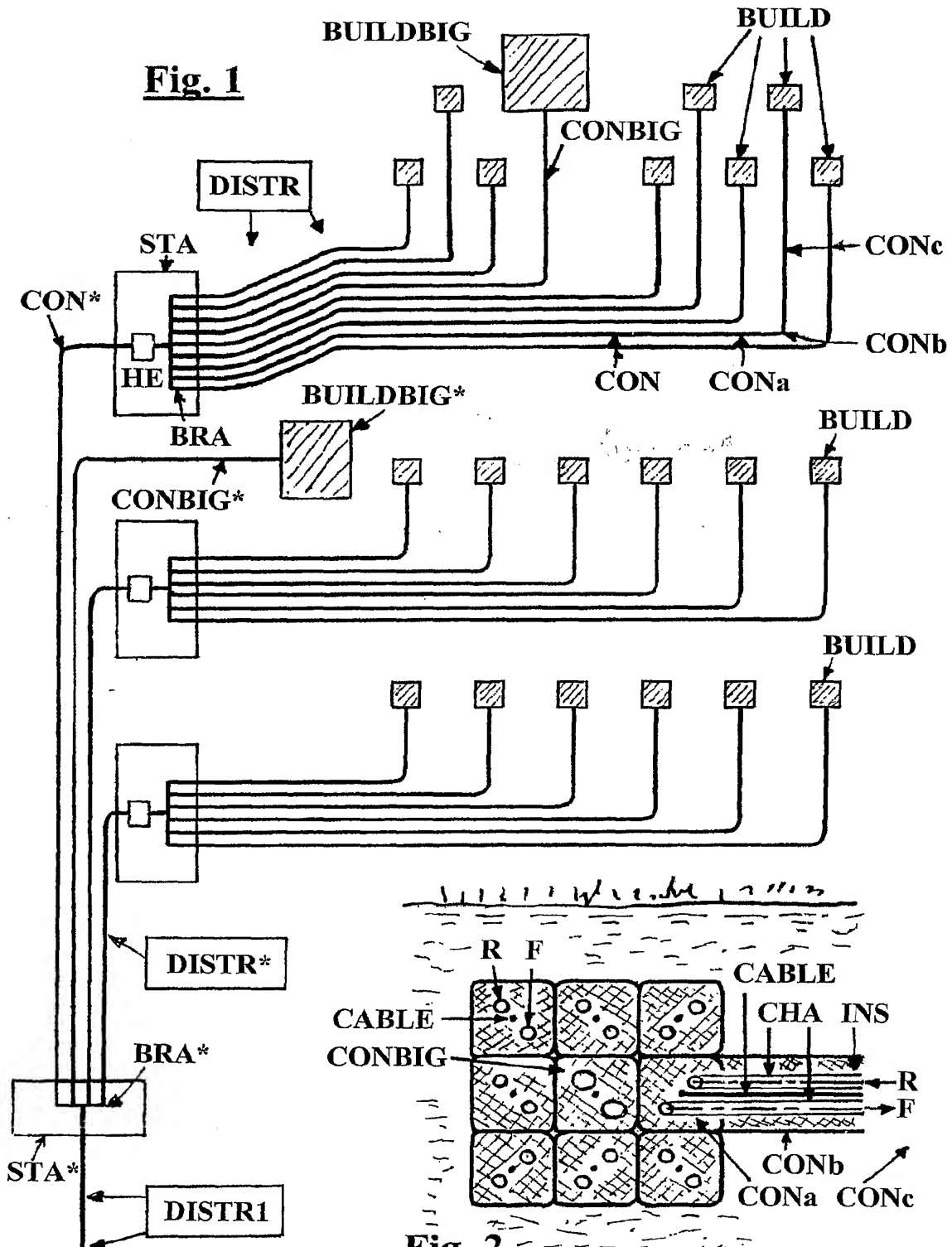


1/23

Fig. 1



2/23

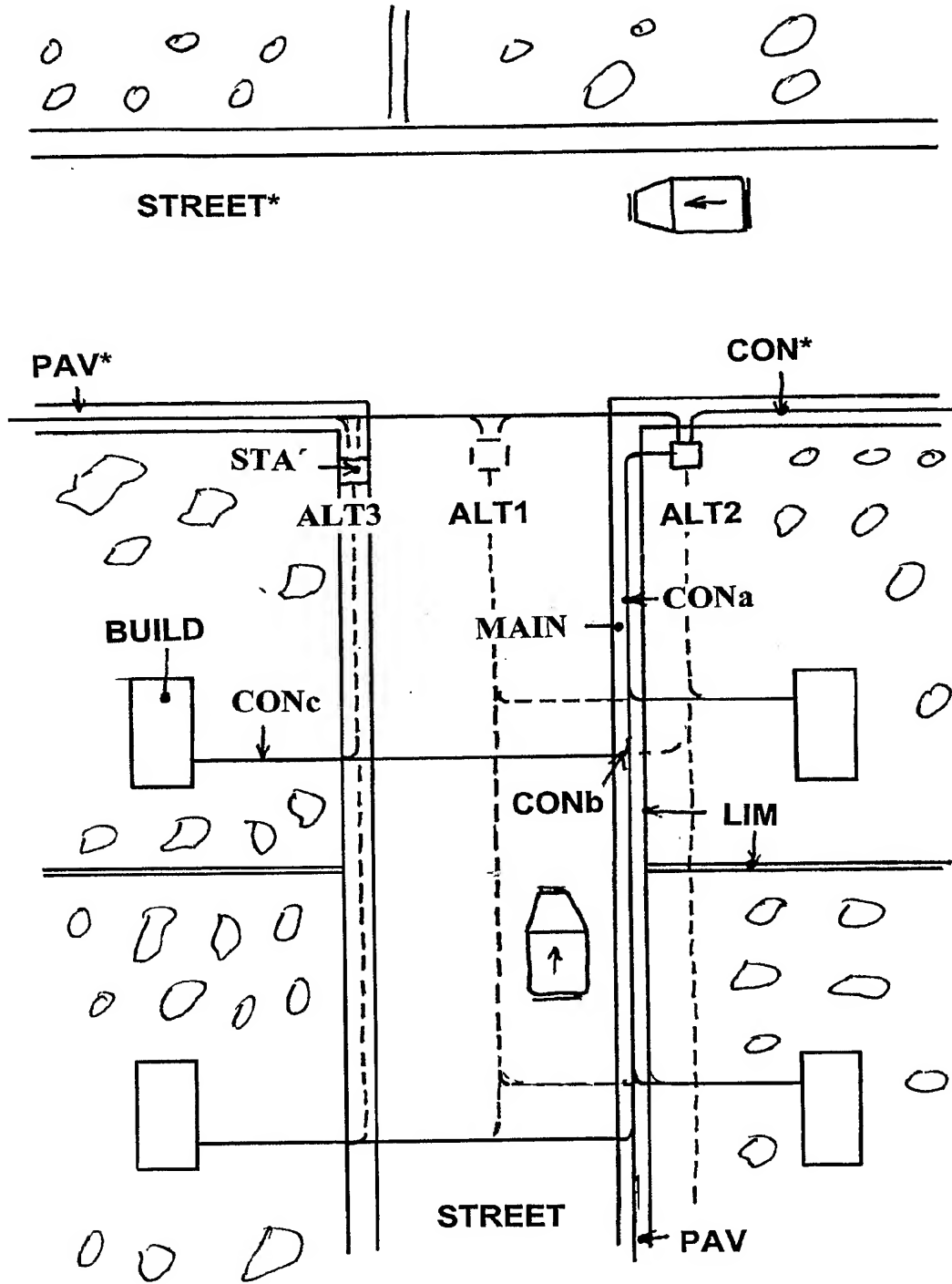
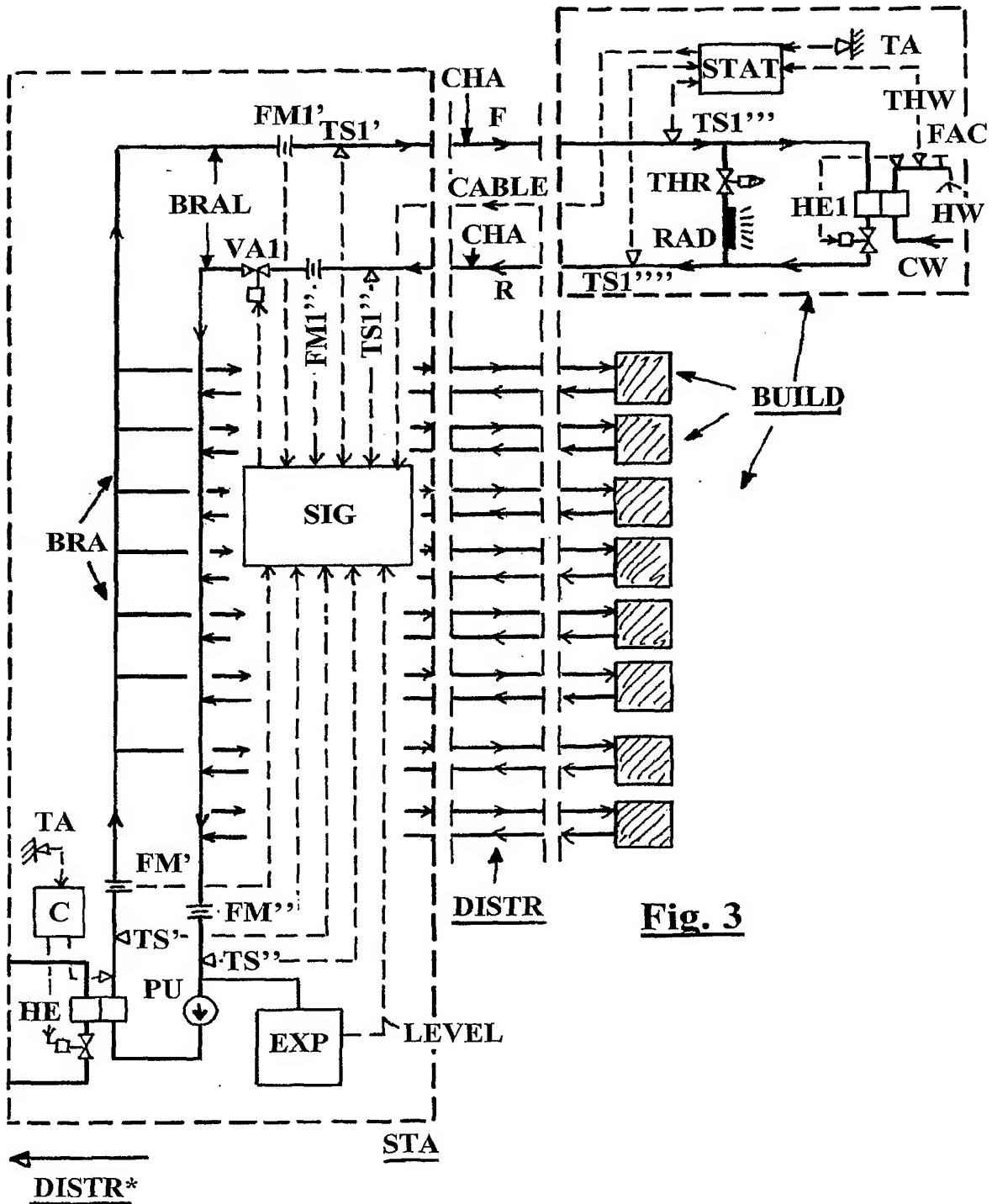
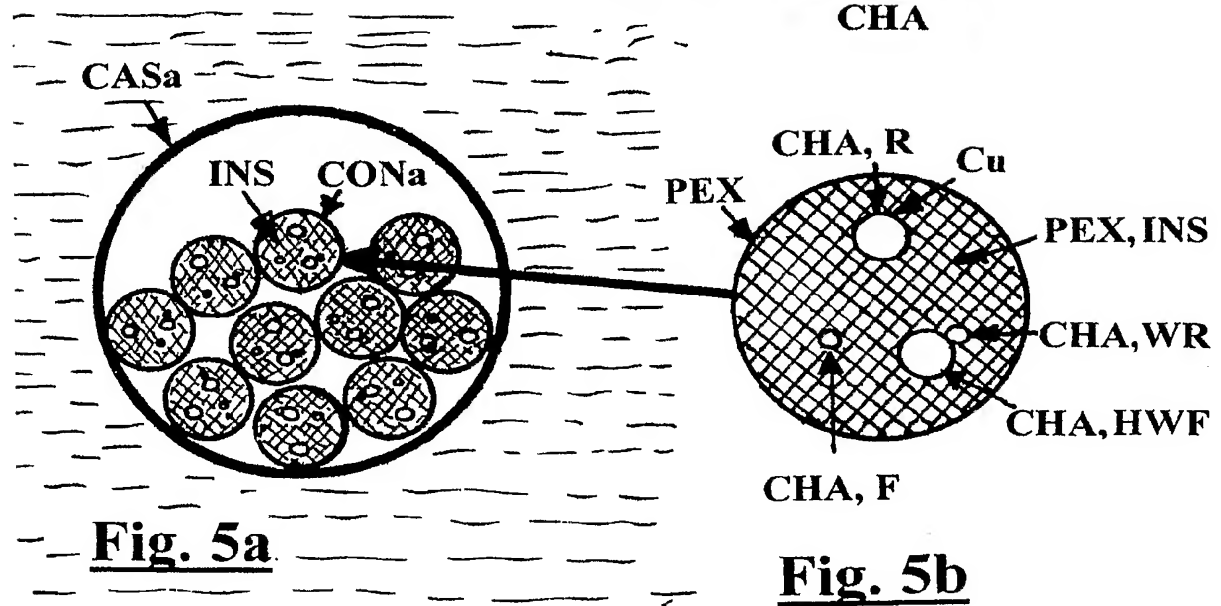
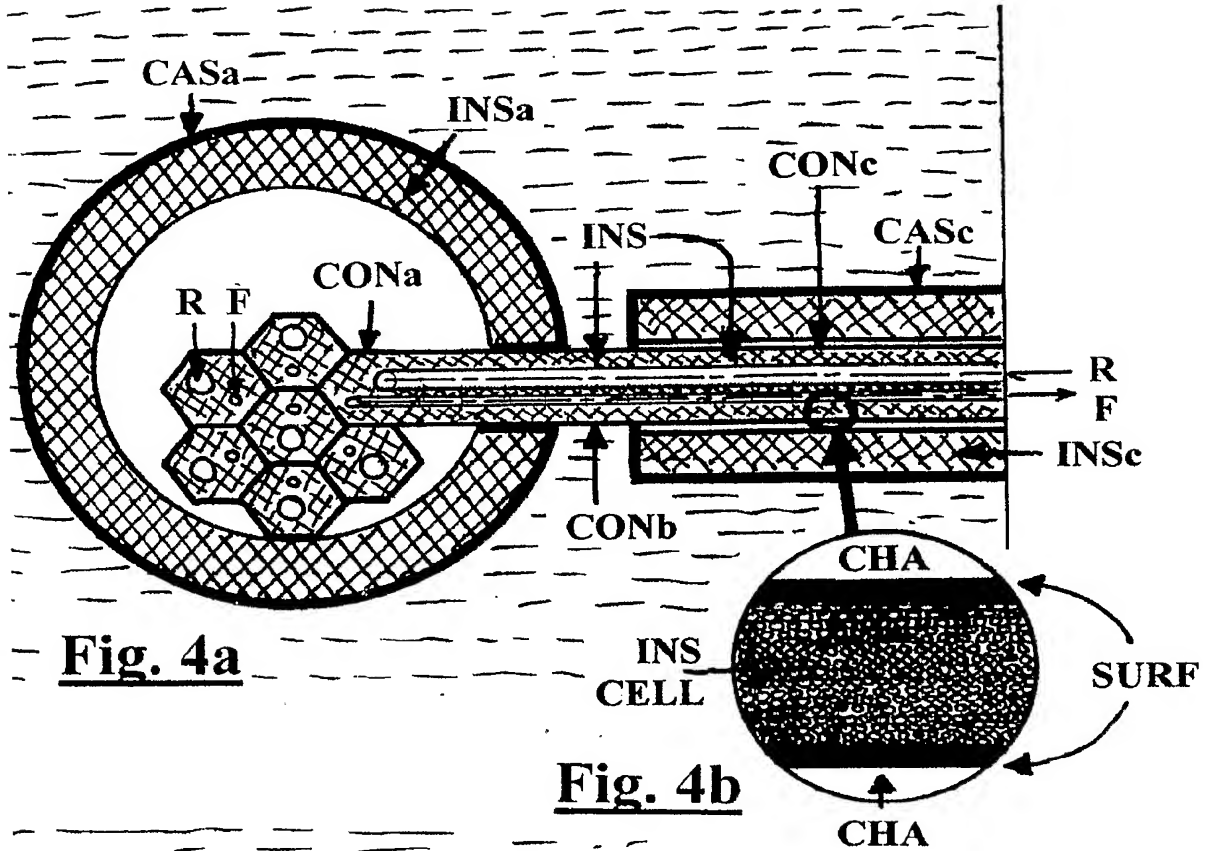


Fig. 1a



4/23



5/23

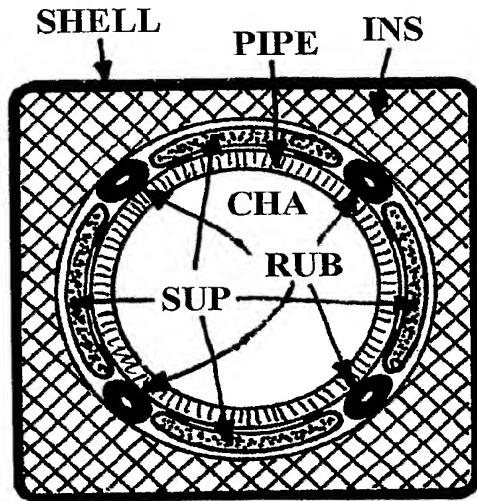


Fig. 6

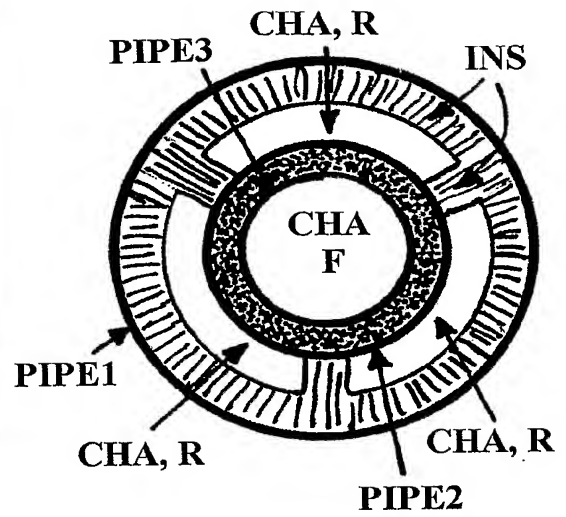


Fig. 7

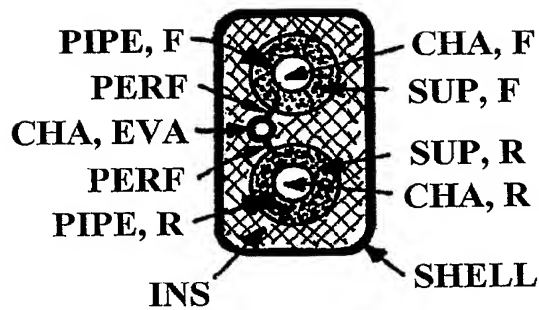


Fig. 8a

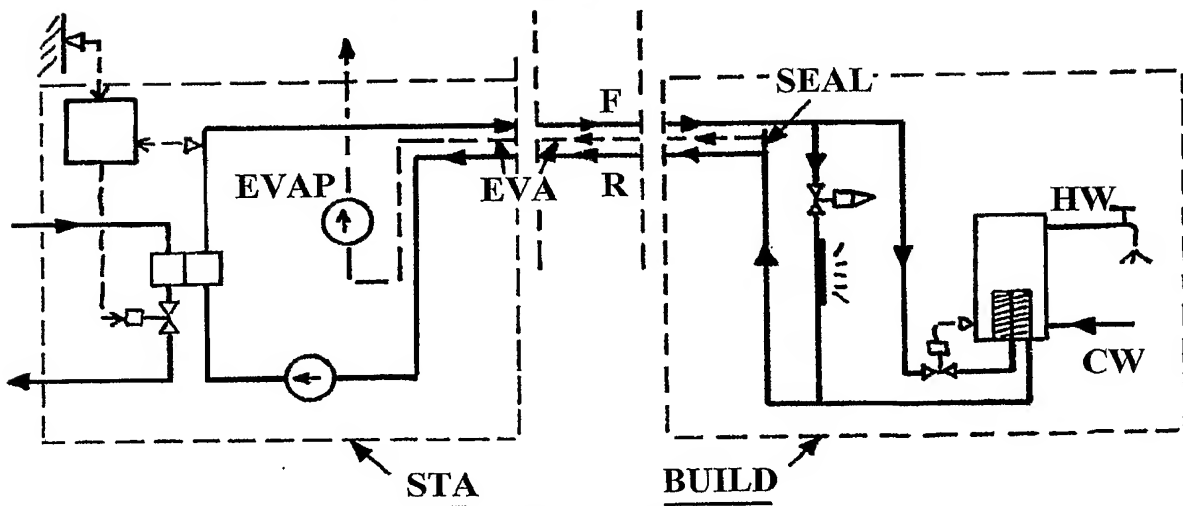


Fig. 8b

6/23

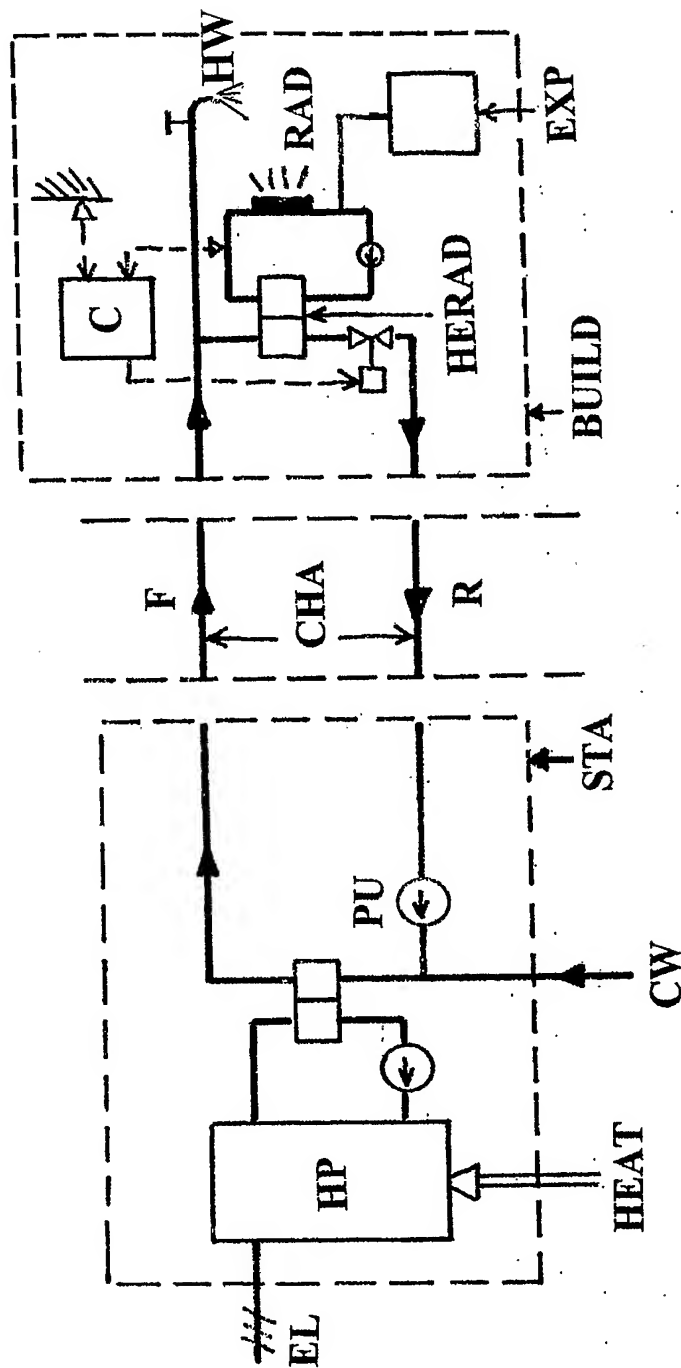


Fig. 9

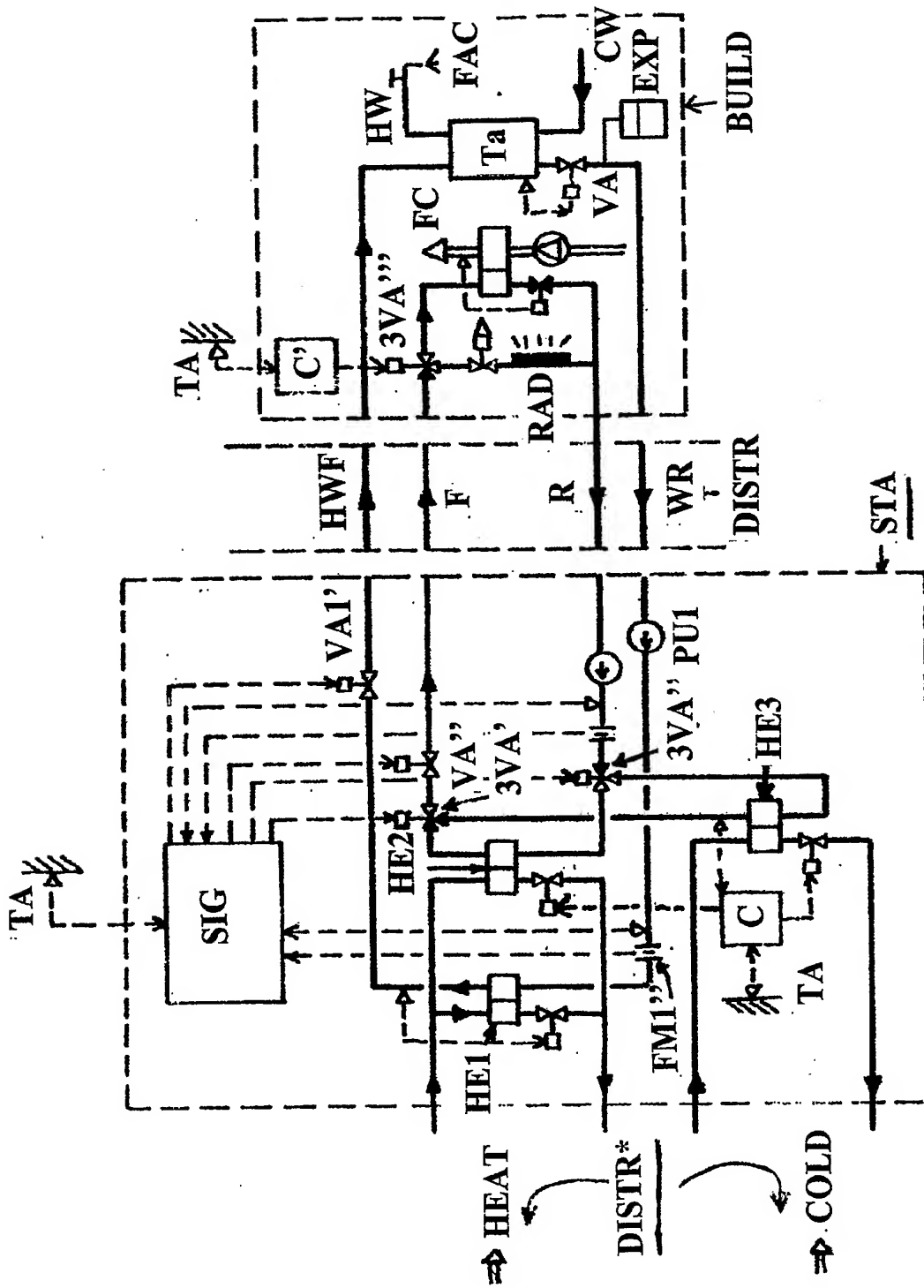
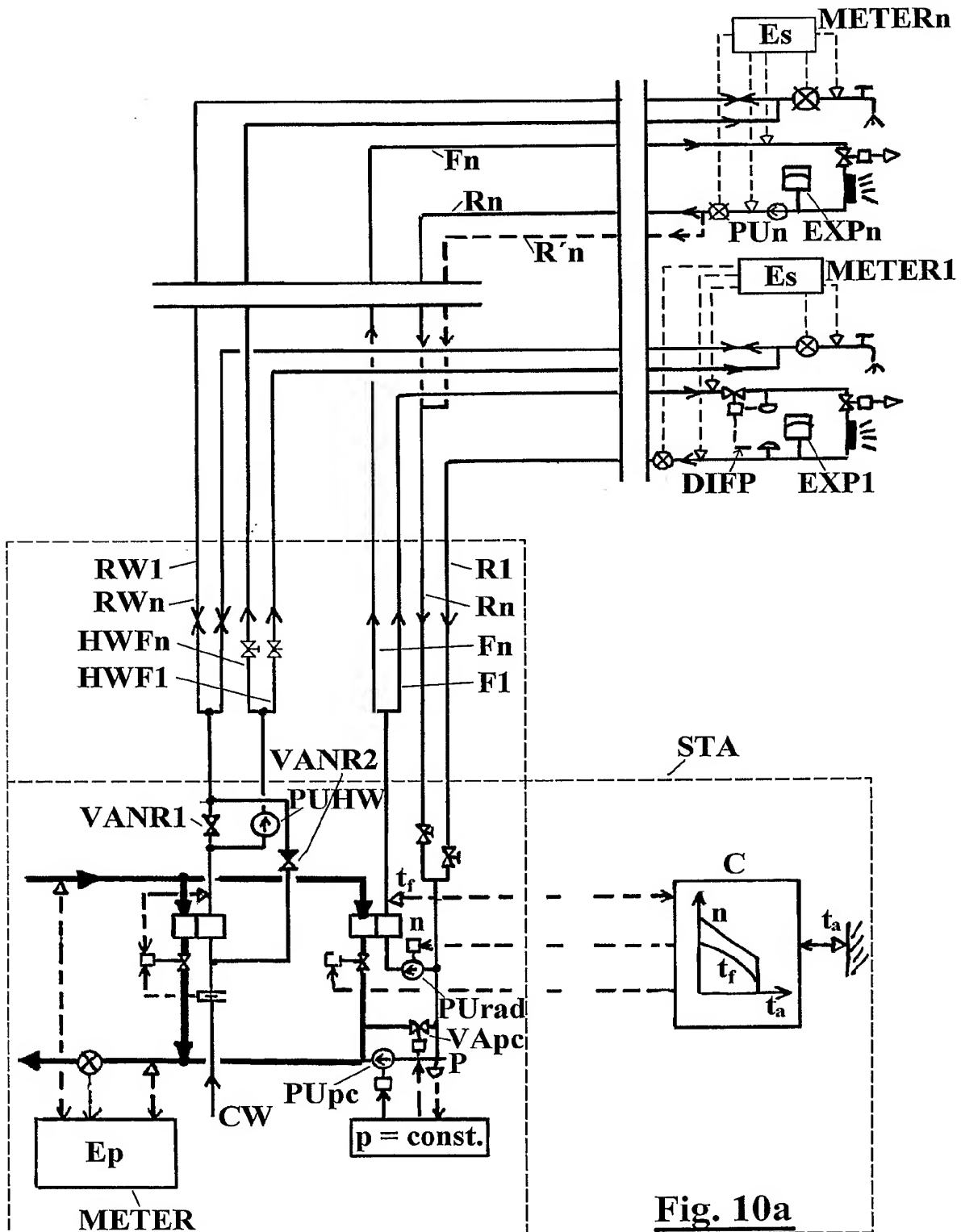


Fig. 10

8/23



9/23

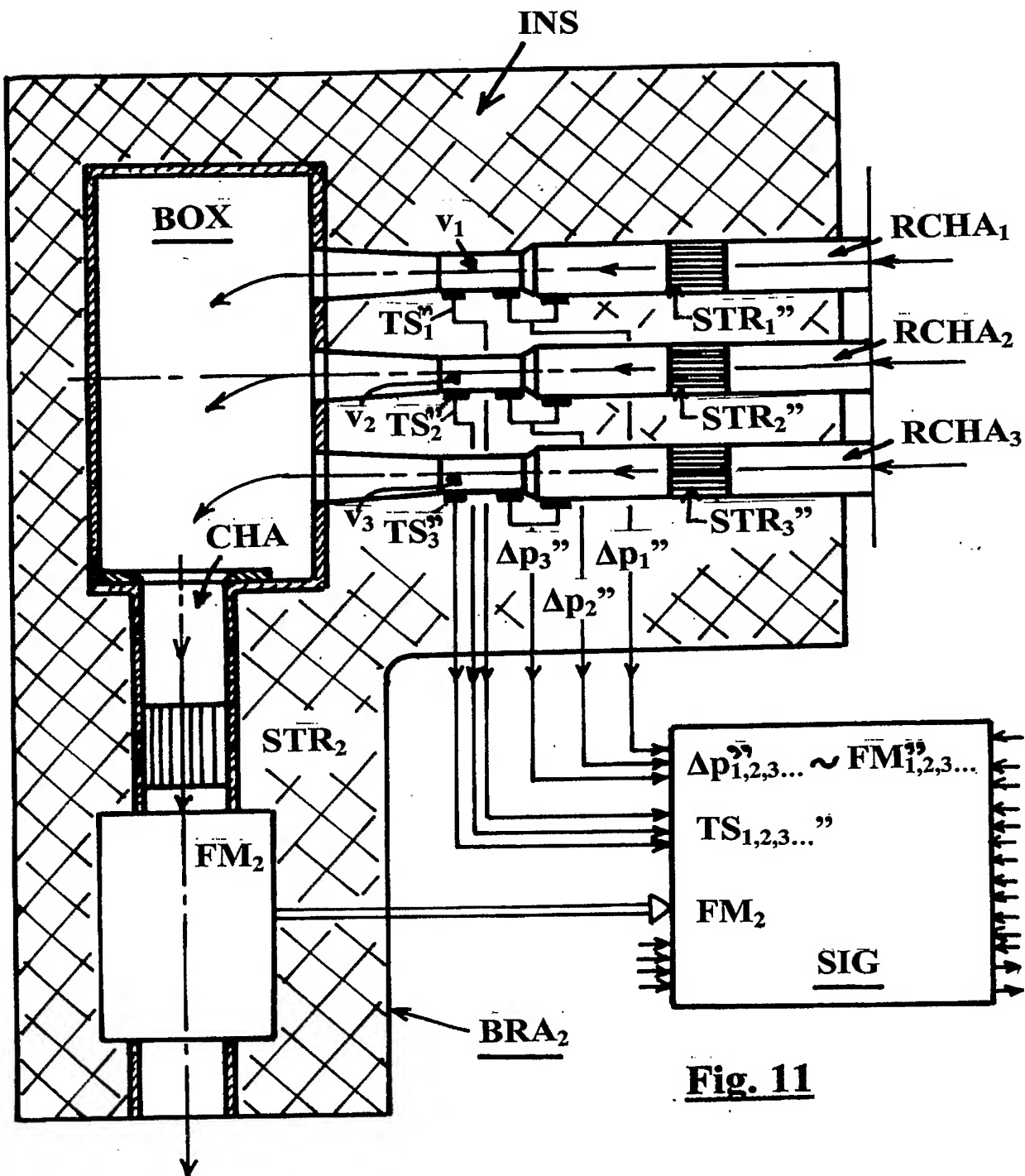


Fig. 11

10/23

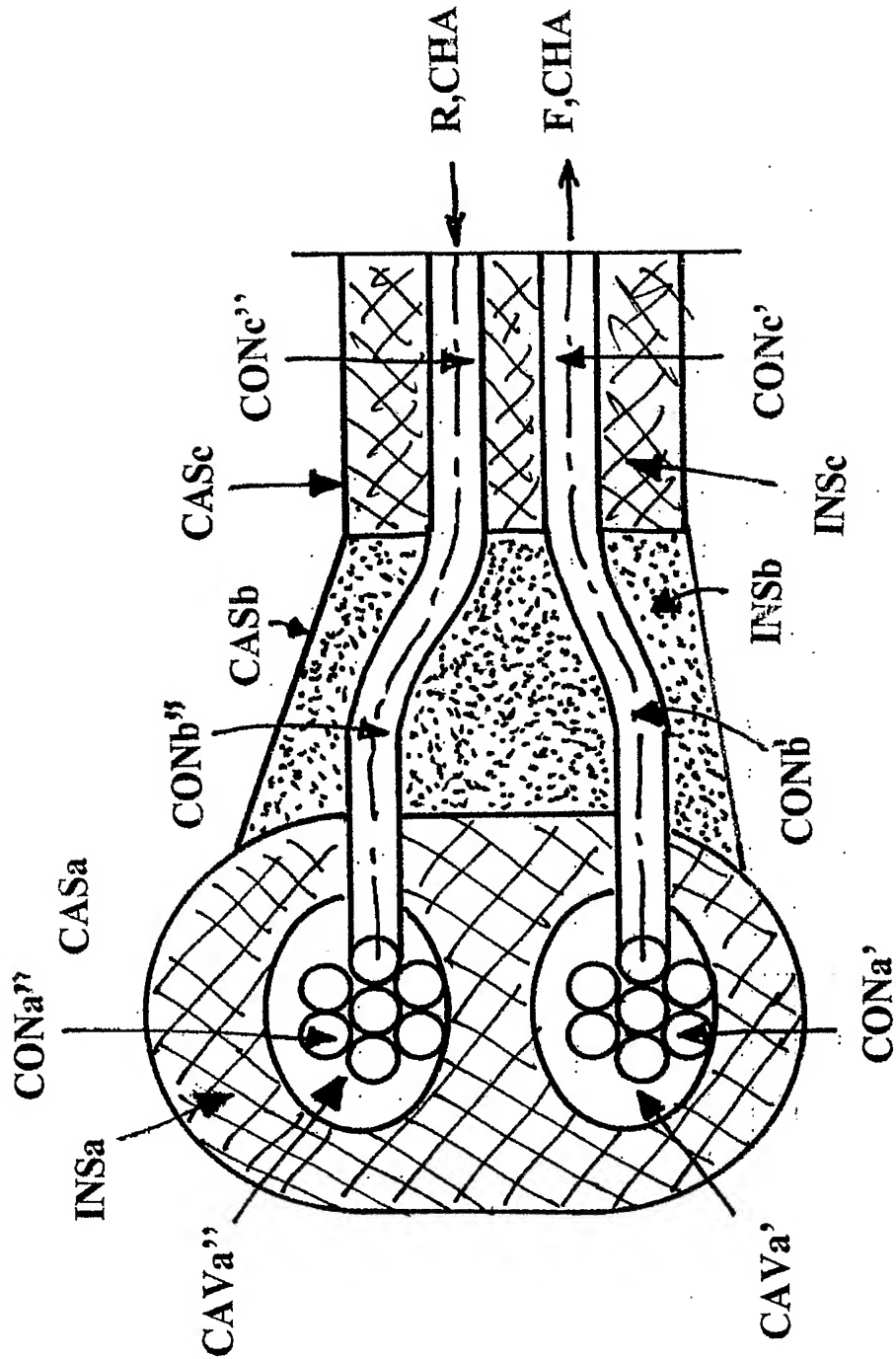


Fig. 12

11/23

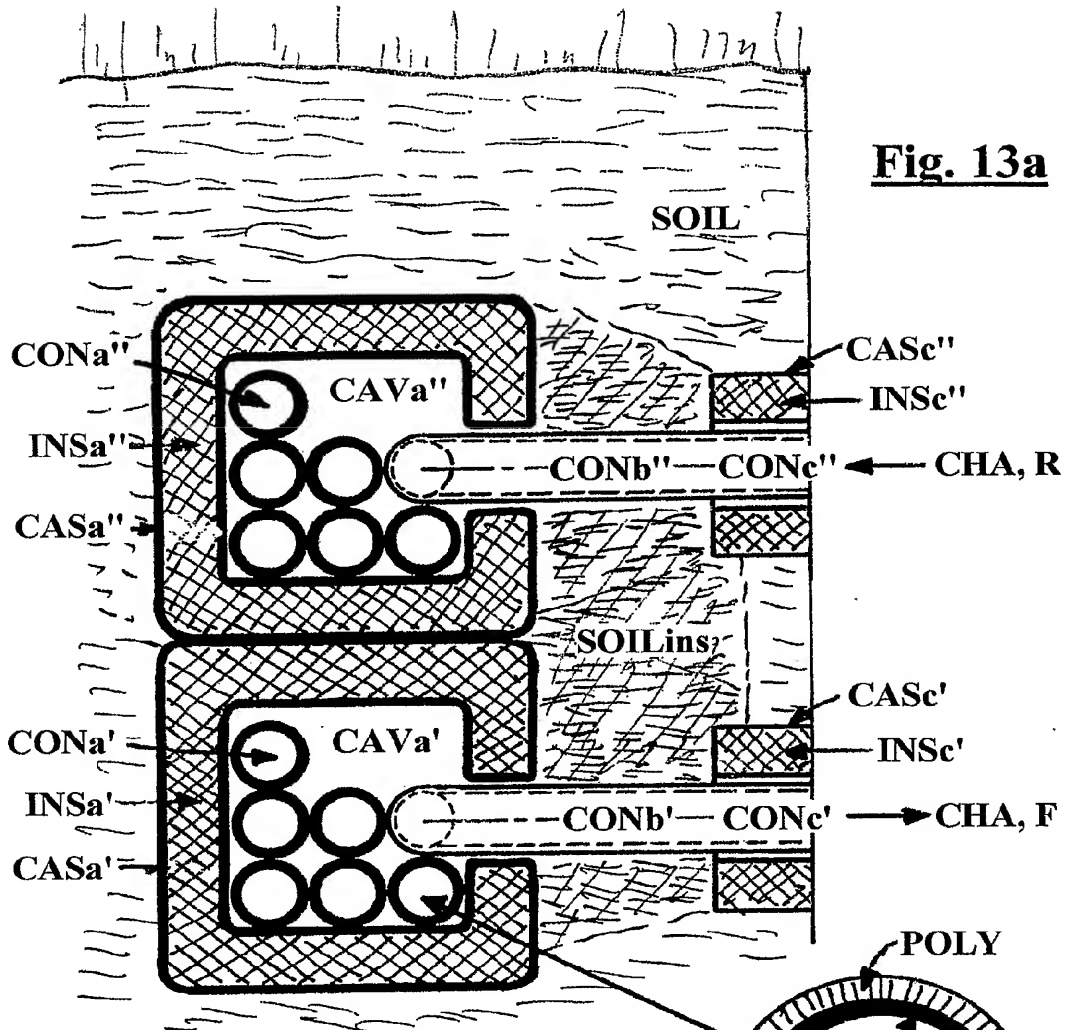


Fig. 13a

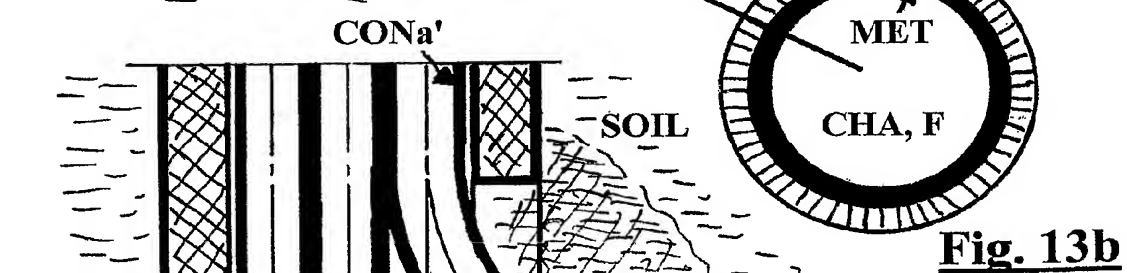


Fig. 13b

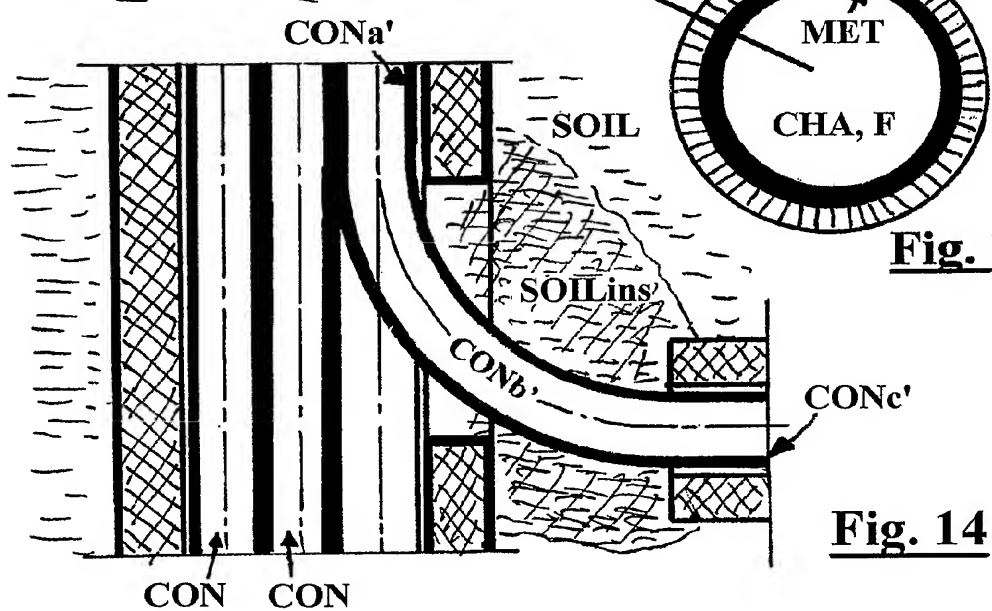


Fig. 14

12/23

Fig. 15

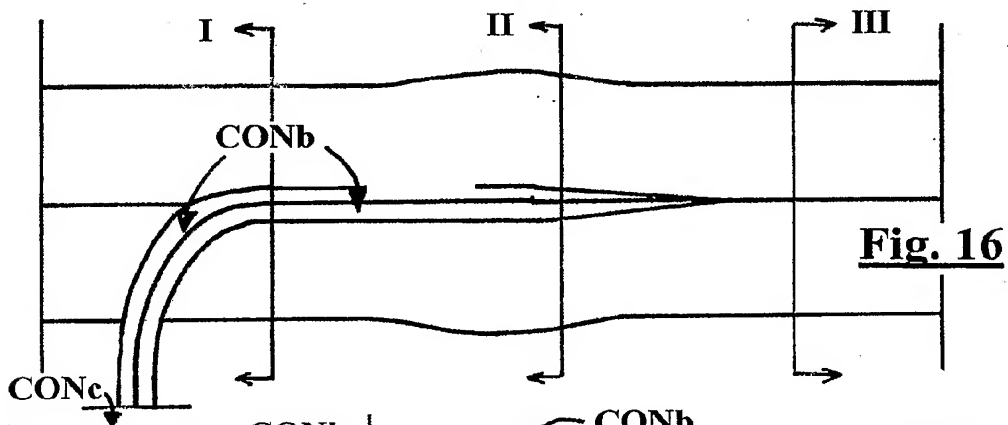
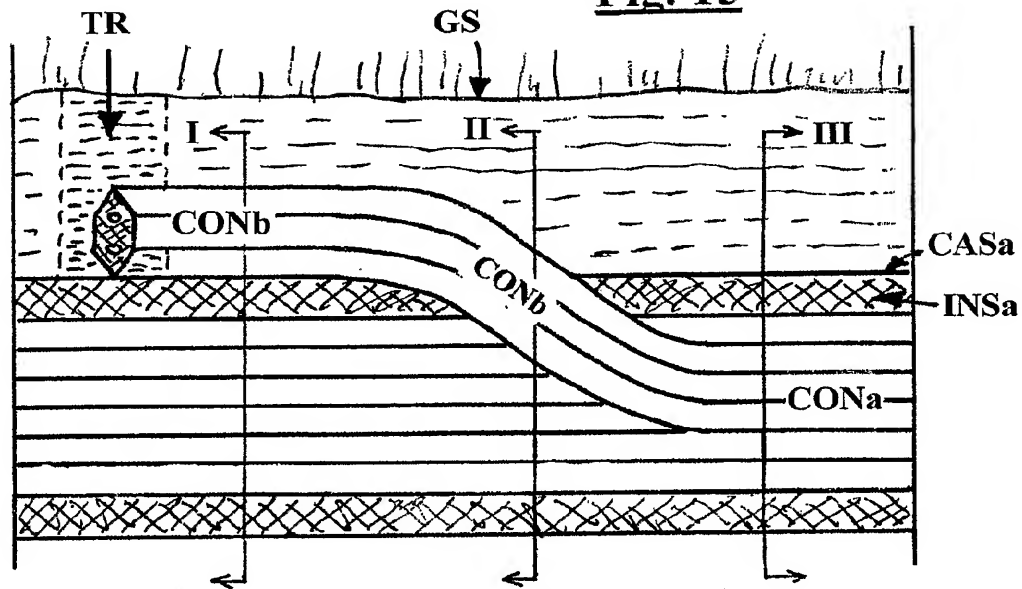
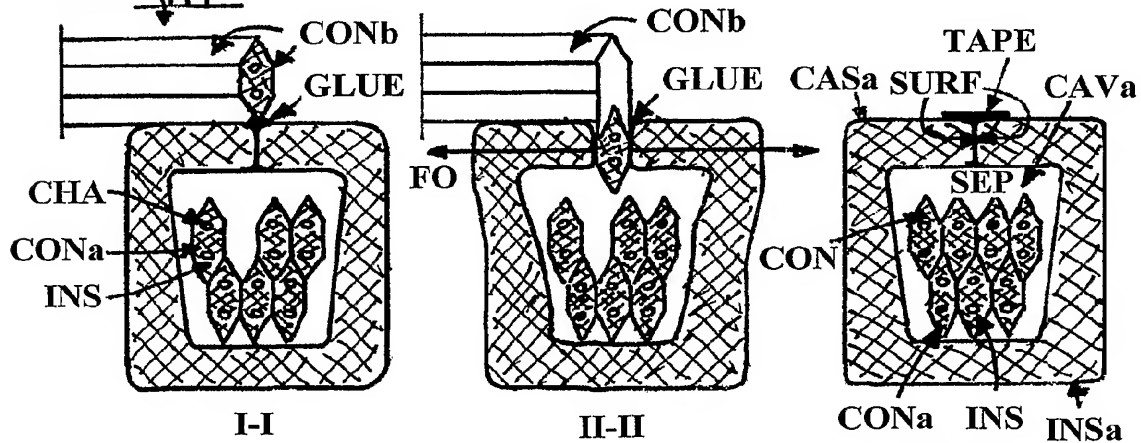


Fig. 16

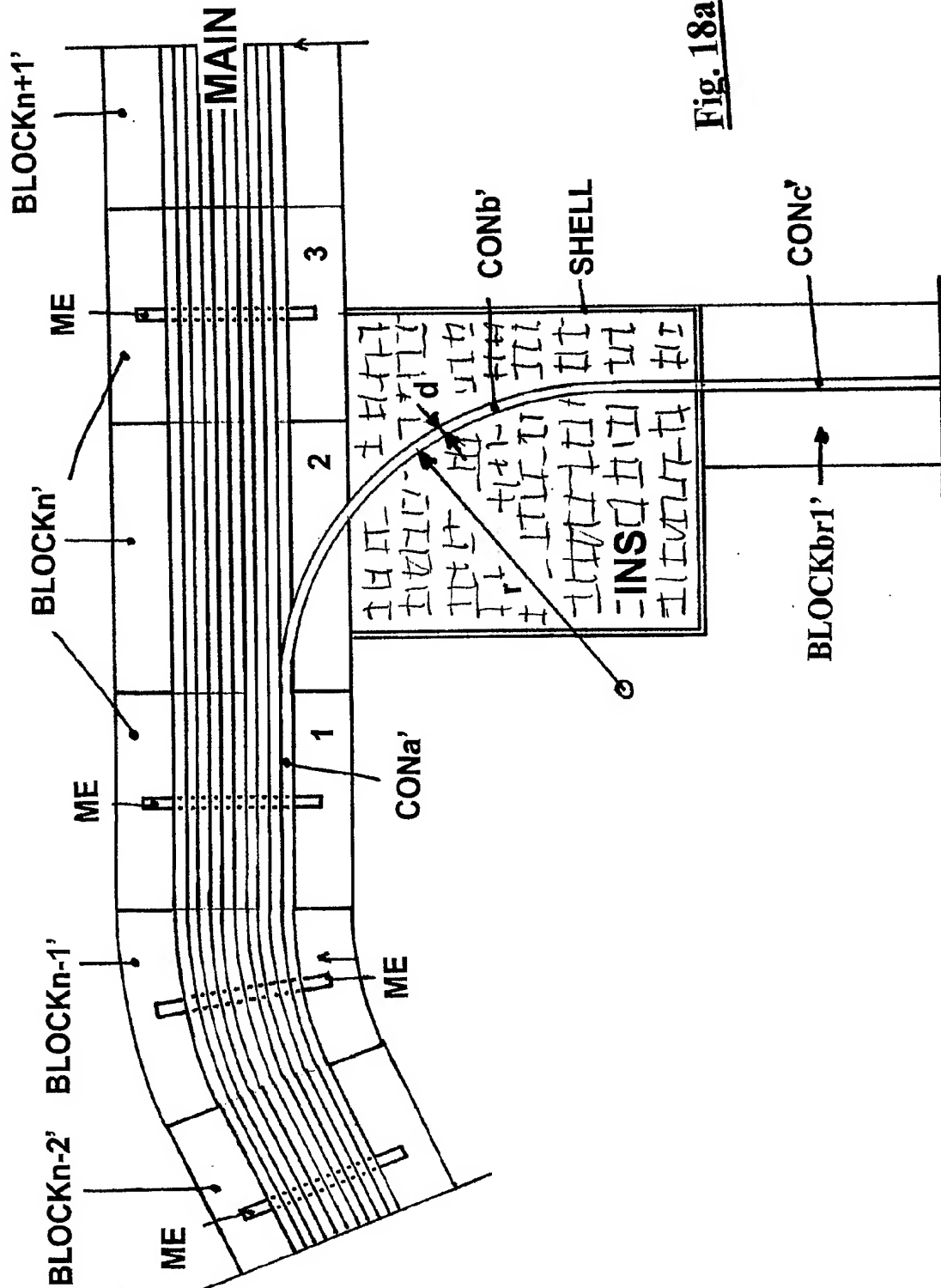


I-I
Fig. 17a

II-II
Fig. 17b

CONa INS INSa
III-III
Fig. 17c

13/23



14/23

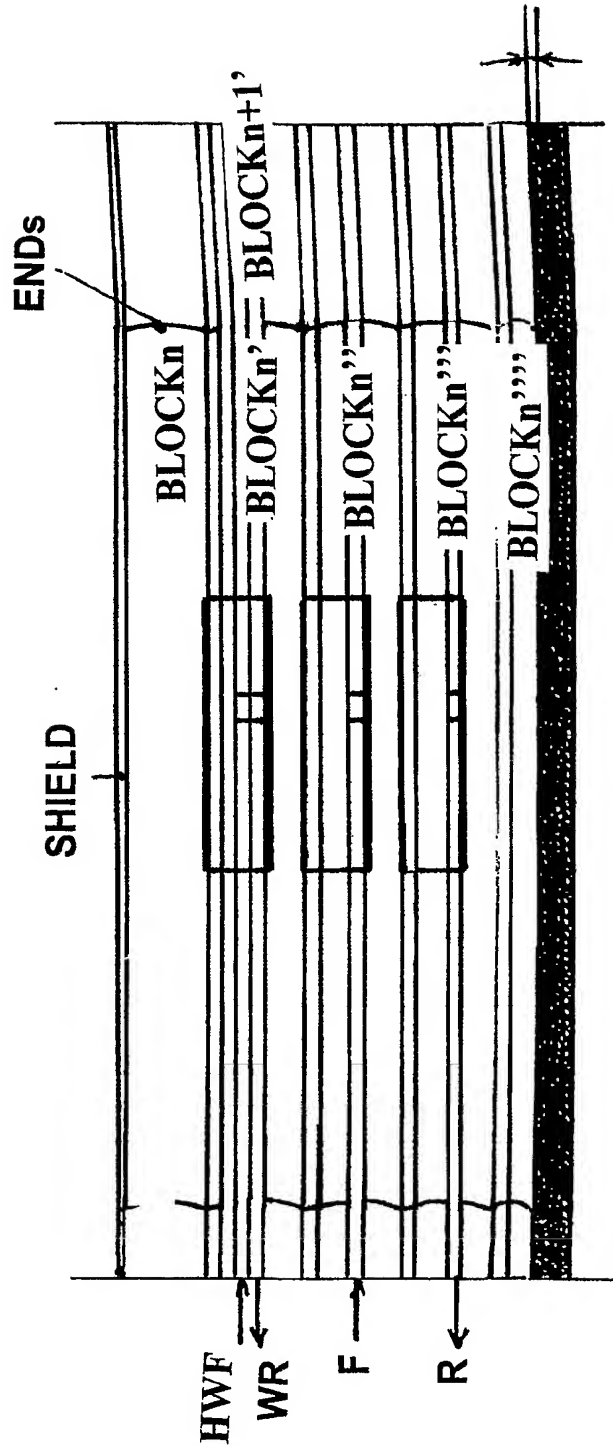
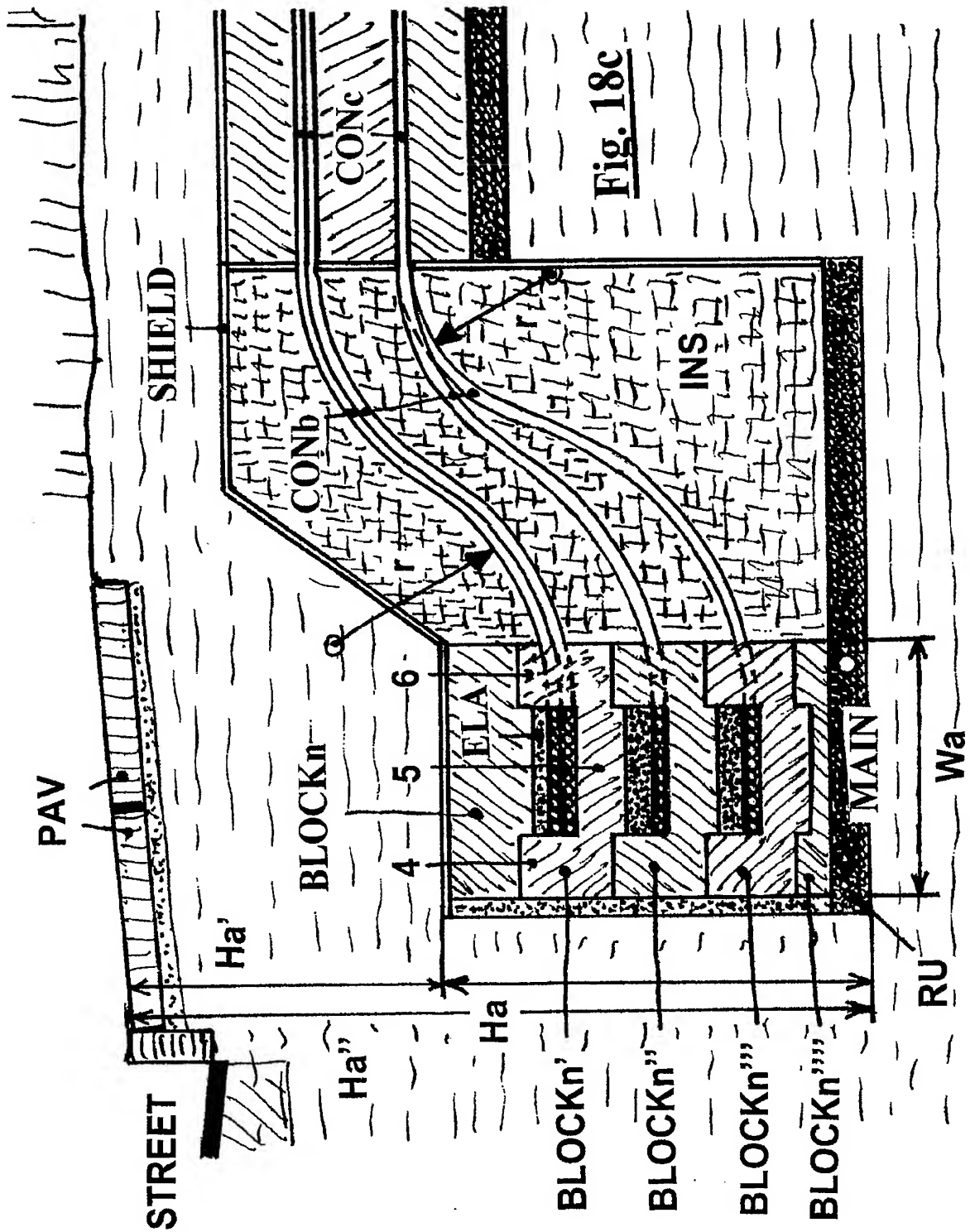
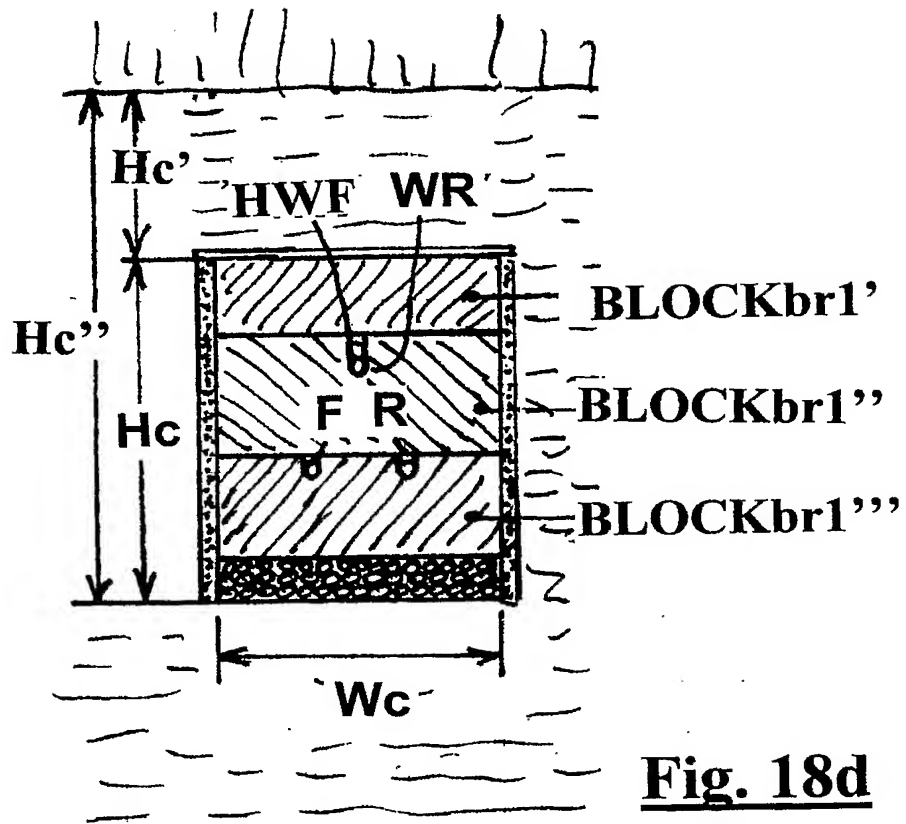


Fig. 18b

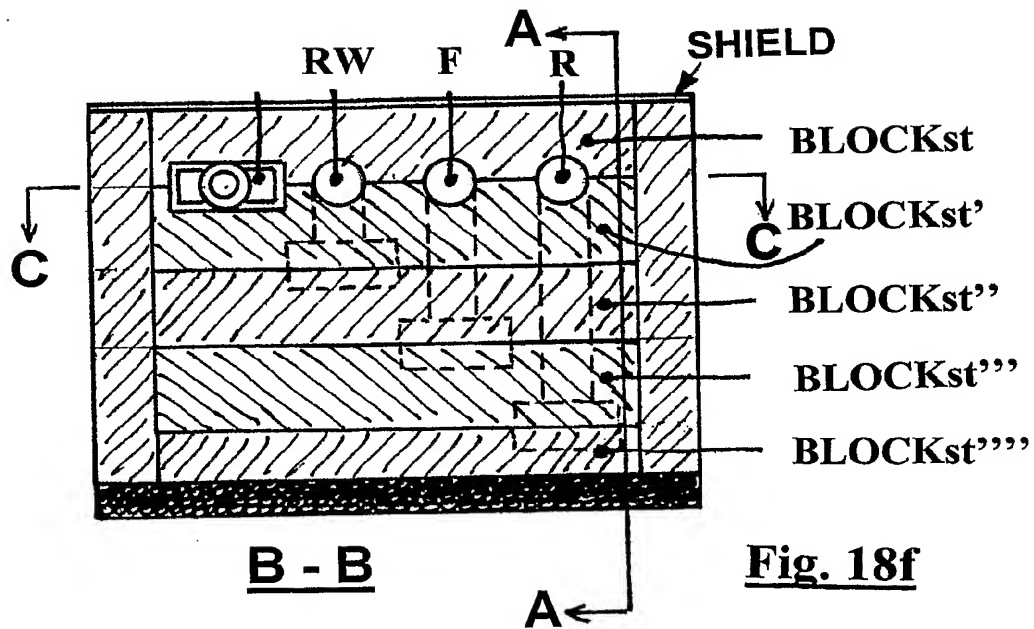
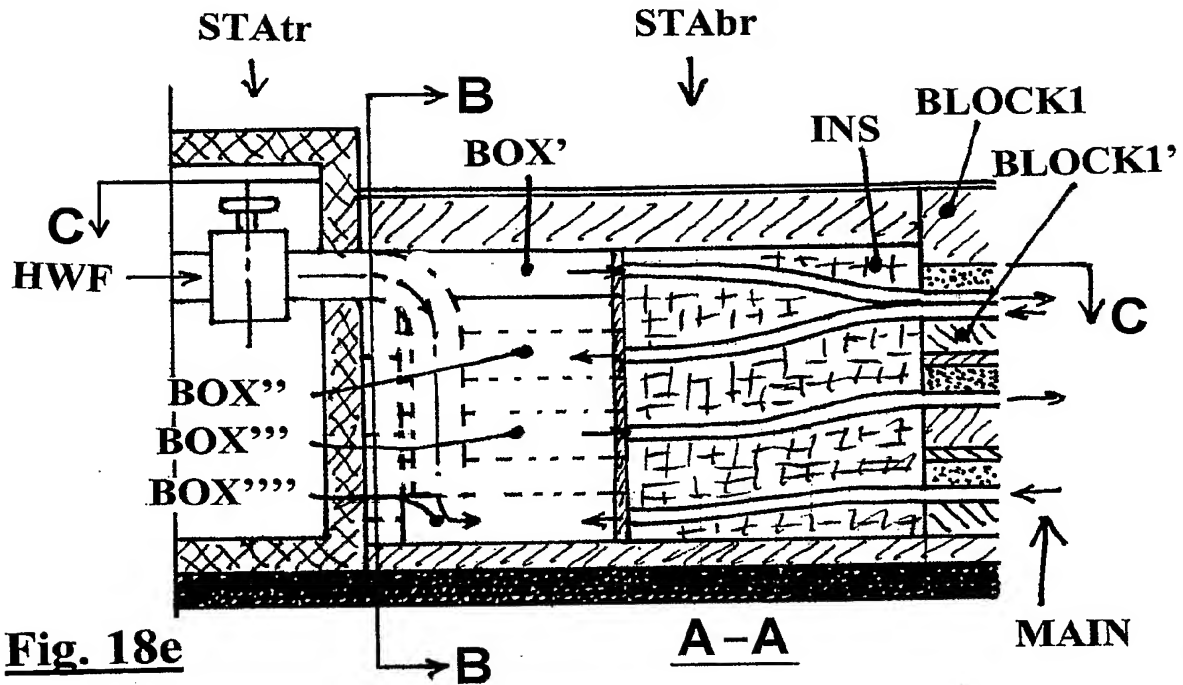
15/23



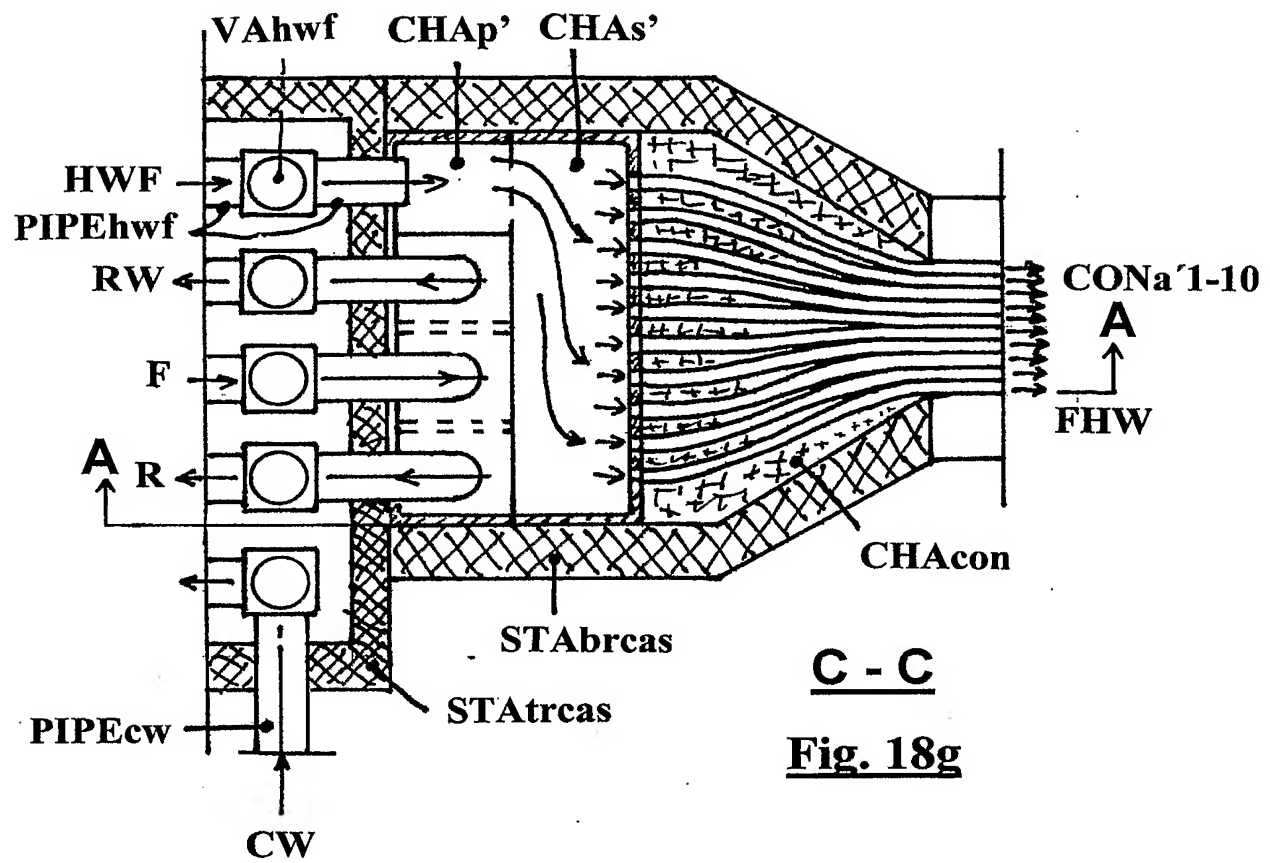
16/23



17/23



18/23

**Fig. 18g**

19/23

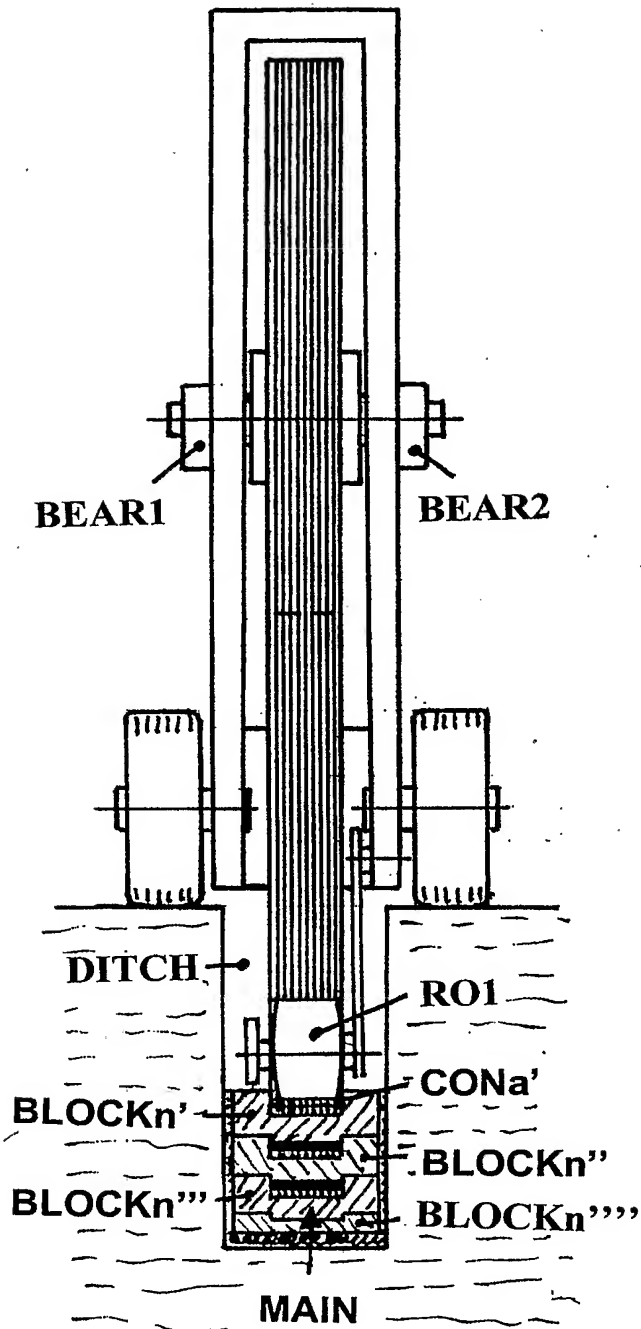


Fig. 19a

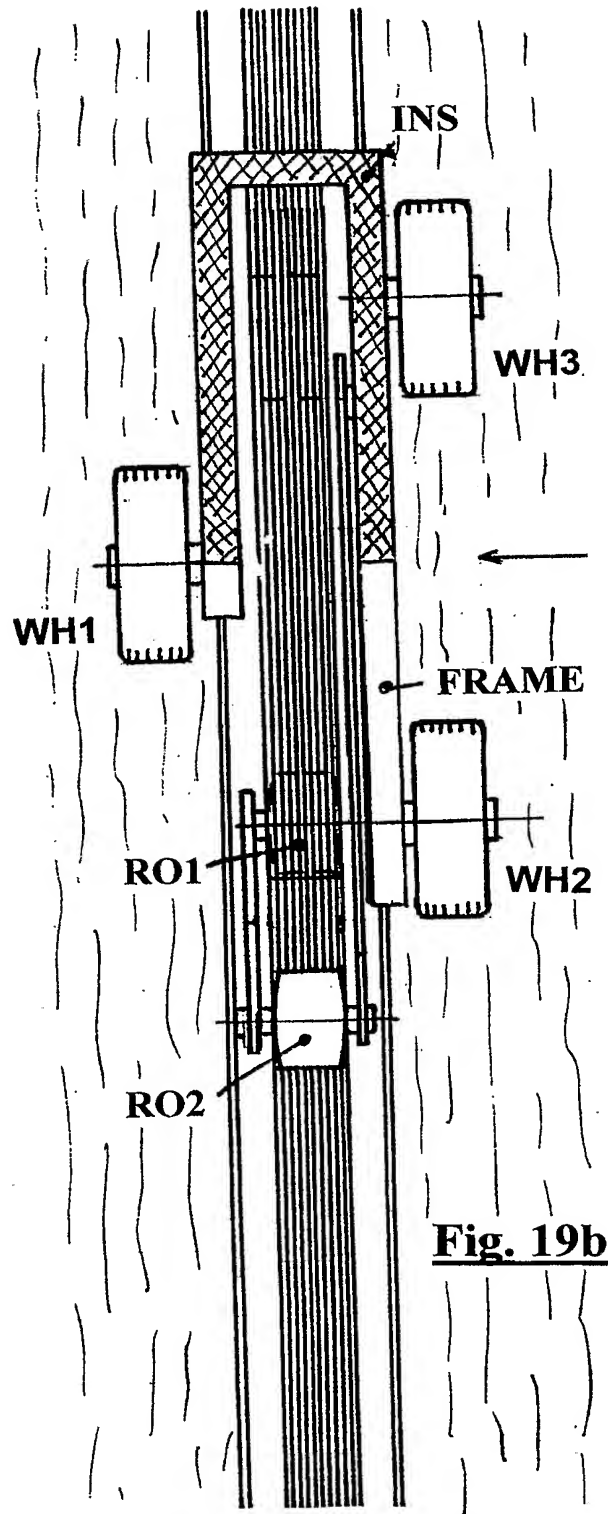
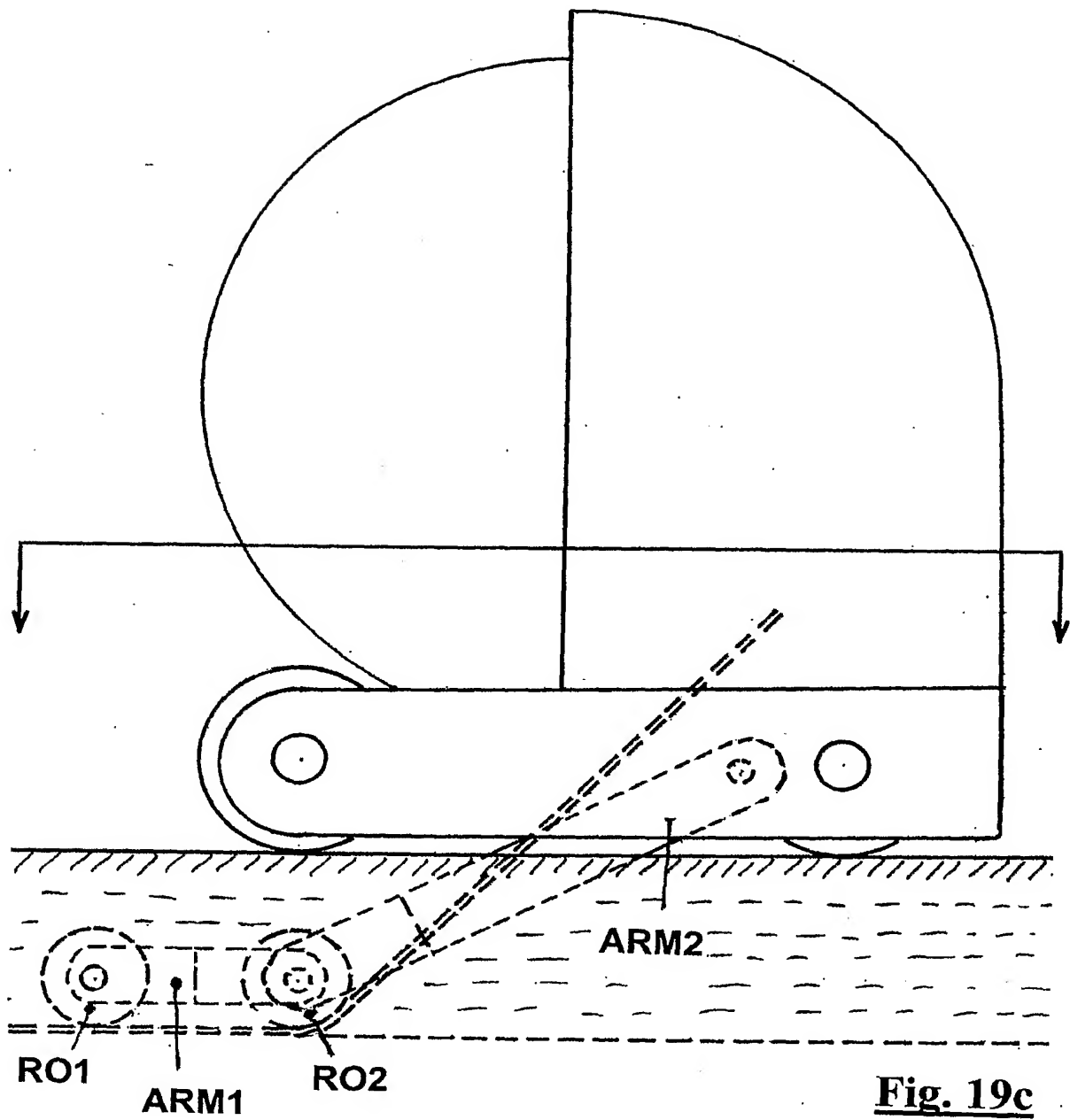
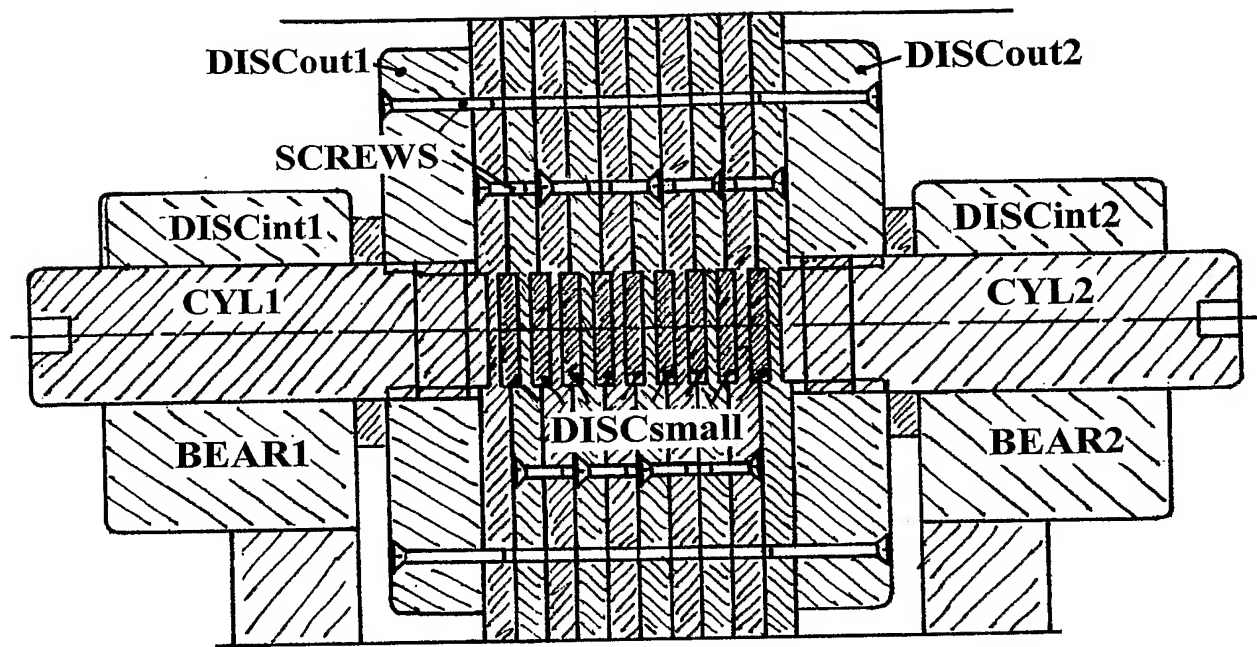
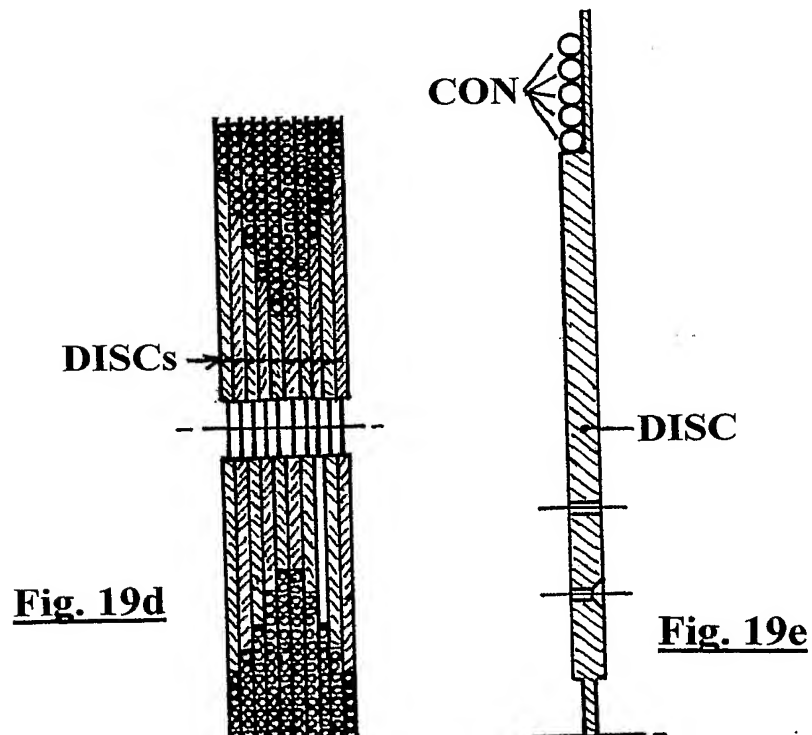


Fig. 19b

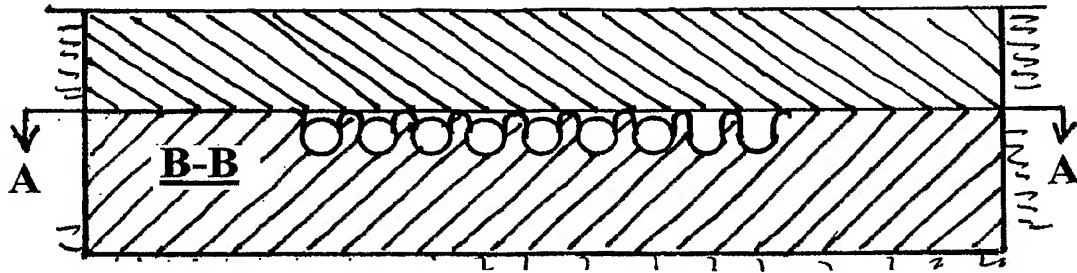
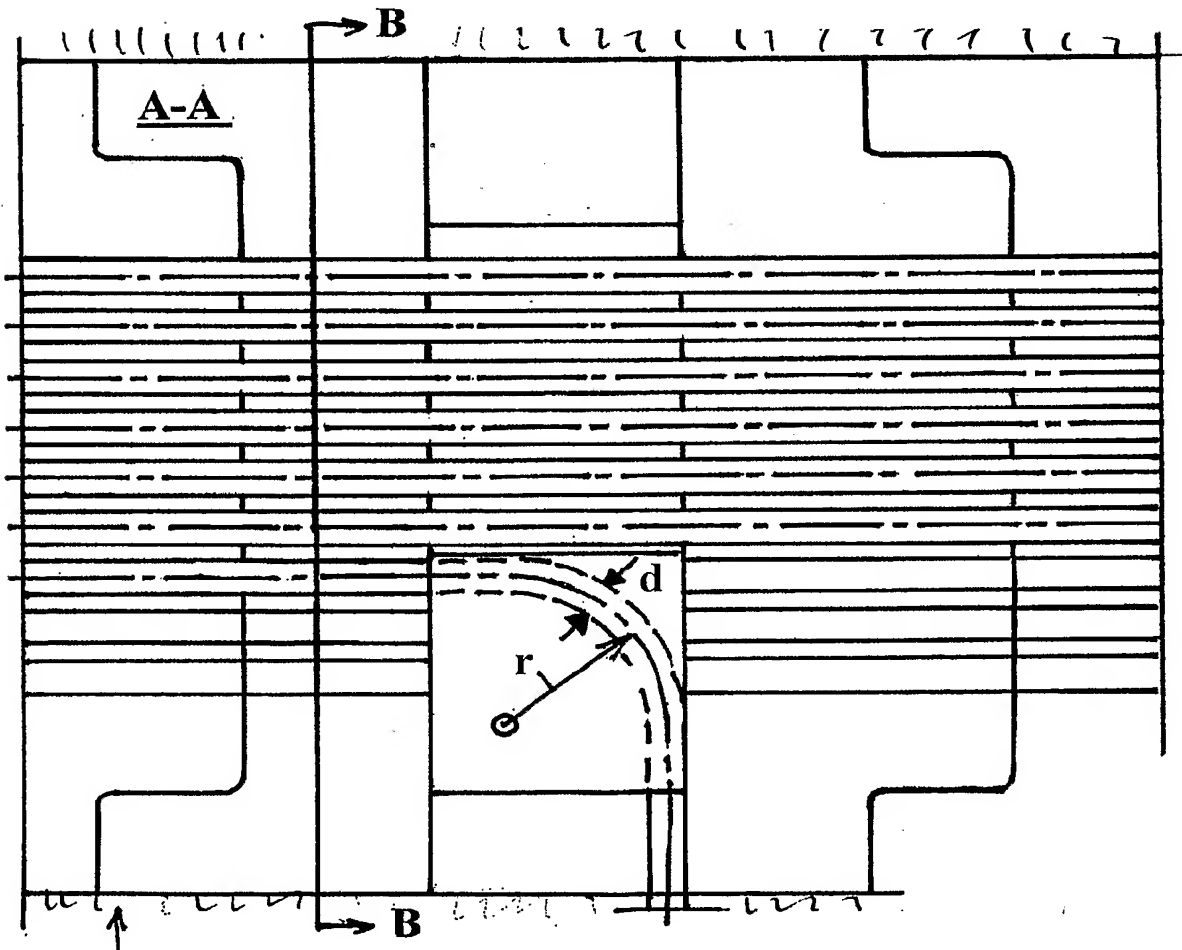
20/23



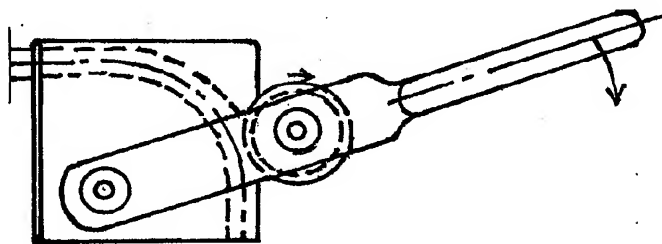
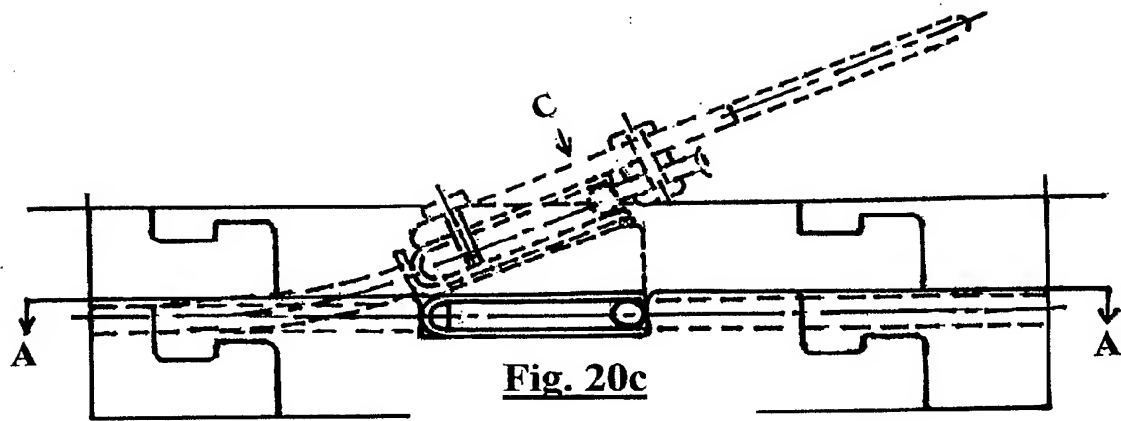
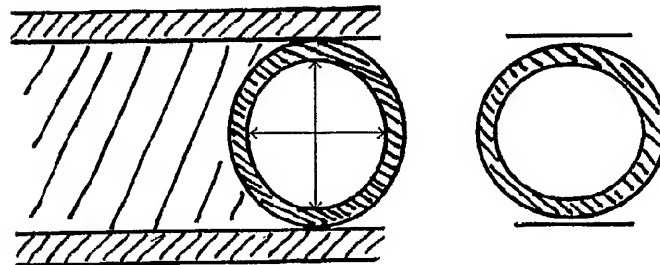
21/23

**Fig. 19f****Fig. 19d****Fig. 19e**

22/23

Fig. 20aFig. 20b

23/23

**Fig. 20d****Fig. 20e**